

○中央大学理工学部 正 佐藤喜久
中央大学理工学部 正 萩木龍雄

I 手元がき

アスファルト混合物の破壊強さは試験時の供試体温度、ならびに走速度によって異なり。筆者らはこの二つに注目し研究を進めていたが、すでに前回發表したように、破壊強さは温度($T^{\circ}\text{C}$)、指數関数、走速度。指數関数として表わすことができる二つを見出している。本研究はこの二つをふまえ、さらに斜入度指數の達成アスファルトを用い、一軸圧縮試験と曲げ試験を行ない、前回との比較検討を行ない修正を加えたものである。

II 使用材料、試験条件

前回のものと比較検討をする為、砂、フィラーは同一のものであり、アスファルトはPI=1.07のものを用いた。名前合比は前回に供試体の作成方法も前回と同様である。なお前回使用したアスファルトのPIは-0.73である。

試験温度: $0^{\circ}\text{C}, 10^{\circ}\text{C}, 20^{\circ}\text{C}, 40^{\circ}\text{C}, 60^{\circ}\text{C}$ 走速度: $1\%/\text{min} \sim 50\%/\text{min}$ の数段階

供試体寸法: 一軸圧縮試験用 $10 \times 10 \text{ cm}^2$ 、曲げ試験用 $5 \times 5 \times 20 \text{ cm}^3$ (スパン15cm、3点曲げ)

備記 1) 壓裂試験、マーシル穿孔度試験の走速度の算出は以下のように行った。
2) 壓裂試験: 供試体引張方向に50mmストレーニングを貼り、変形速度と走速度の関係を求めるに。マーシル穿孔度試験: 供試体垂直中心線上の走速度として、変形速度より求めた。

III 実験結果

(1) 破壊強さの感温性

破壊強さ(σ_b)と温度($T^{\circ}\text{C}$)の関係は、ある走速度において

$$\sigma_b = A e^{-BT} \quad (1)$$

と表わすことができる。Aは 0°C における破壊強さを表わし、Bは感温性係数を表わす定数である。このBについて複数にはいろいろ感温性係数と称する(感温性係数が大きい程、温度の影響を受けやすいといふこと)。図-1は各試験で求められた感温性係数と走速度の関係を示すものである。感温性係数は試験方法により、曲げが一層大きく圧裂、一軸圧縮、マーシルの順に小さくなるのであり、他の研究報告も考慮すると、試験に際してグラフを助長する試験では感温性はより大きくなるものと思われる。

PIによる相違は、一軸圧縮試験の結果より、 $B \times 10^2$

PIが-0.73の場合、感温性係数は0.05~0.055、PIが-0.73の場合0.045~0.048程度とは、つまり、PIが小さいと感温性は大きくなると言え、一般の概念と一致する。

また走速度が大きくなると感温性係数も若干大きめになるようであるが、明確な傾向は得られないが、たゞしそばらつきを考慮すれば、各走速度における感温性係数の平均値をとっても差支えない変動であると考える。

(2) 破壊強さの走速度依存性

破壊強さ(σ_b)と走速度($\dot{\epsilon}$)の関係はある温度において

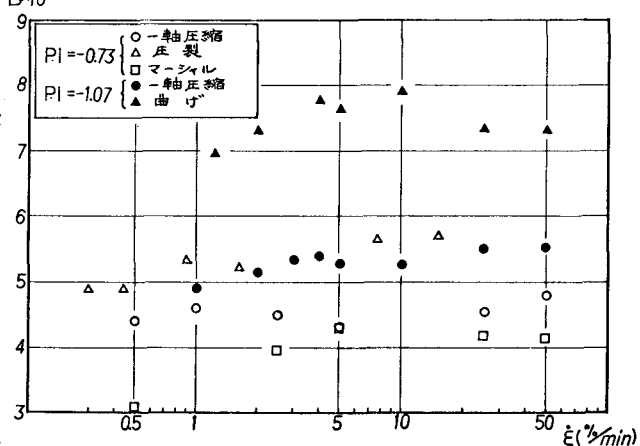


図-1 感温性係数と走速度の関係

$$\sigma_b = C + D \ln \dot{\epsilon} \quad (2)$$

と表わすことができる。Cは歪速度が1%/minのときの破壊強さを表わし、Dは増分を表わす。Dは強さ(kg/cm^2)の単位を持つ為、各試験の結果を比較することができないが、前回に示したように温度が高くなると指數関数的に減少し、同一試験においては歪速度の影響は低温時程大きくなることがある。

(1)式と(2)式より破壊強さは温度と歪速度の関数として表わすことができる。

前回は(2)式のDが温度の指數関数とみなして利用して

$$\sigma_b = C_0 e^{-c_1 T} + D_0 e^{-D_1 T} \ln \dot{\epsilon} \quad (3)$$

としたが、ある歪速度($\dot{\epsilon} = \dot{\epsilon}_0$)で温度を変えて試験をしたとき $D_0 \ln \dot{\epsilon}_0 = F$ とすれば

$$\begin{aligned} \sigma_b &= C_0 e^{-c_1 T} + F e^{-D_1 T} \\ &= \left\{ 1 + F/C_0 e^{-(D_1 - c_1)T} \right\} C_0 e^{-c_1 T} \end{aligned} \quad (4)$$

となり(1)式に帰着しない。 $\dot{\epsilon} = \dot{\epsilon}_0$ の A はある歪速度における 0°C の破壊強さを表わすから、これは(2)式を利用して

$$A = A_0 + A_1 \ln \dot{\epsilon} \quad (5)$$

と表わせらるからこれを(4)式に代入して、さらには感温性係数の平均値を \bar{B} とすれば

$$\begin{aligned} \sigma_b &= (A_0 + A_1 \ln \dot{\epsilon}) e^{-\bar{B} T} \\ &= (1 + A'/A_0 \ln \dot{\epsilon}) A_0 e^{-\bar{B} T} \end{aligned} \quad (6)$$

となる。図-2は(6)式により計算した、一軸圧縮強さの計算値と実験値を比較したものであるが、実験値をよく再現しているといえよう。

A/A_0 は歪速度の依存度を表わしこれを歪速度依存性係数と称することにする。表-1は各試験で得られた、 A_0, A_1, \bar{B} および A'/A_0 の値であるが、歪速度依存性係数は PI による差異が明確であり、PI が同じならば、試験方法とは余り関係がないようである。従って歪速度依存性はアスファルトの PI によって定まるものようである。

(3) 破壊時歪

図-3は曲げ試験の破壊時歪と歪速度の関係を示すものである。破壊時歪～歪速度曲線は極大値を持ち、極大値を持たない

い、 $0^\circ\text{C}, 60^\circ\text{C}$ でも歪速度と小さくろよか大きくすれば極大値

を持つものと予想され、破壊包絡線理論を説明できよう。

参考
1) 桑本, 佐藤「アスファルト混合物の強度に関する研究」工学会第32回年講演集第5部

2) 清田桂, 清田謙, 岩川「アスファルト混合物の力学的特性改訂」材料特性調査会

工学会第30回年講演集第5部 3) 清田桂, 清田謙, 元田「アスファルト混合物の一軸圧縮破壊特性」工学会論文報告集第243号 1975年11月

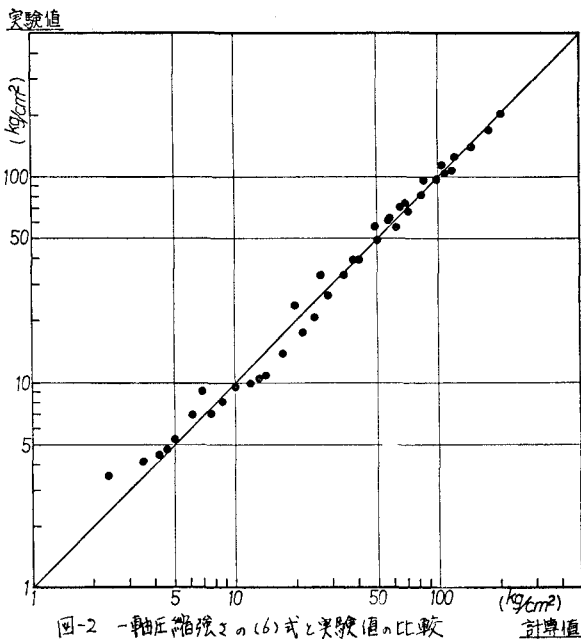


図-2 一軸圧縮強さの(6)式と実験値の比較

表-1 各試験結果

| | P.I. | A_0 | A_1 | A_1/A_0 | \bar{B} |
|---------|-------|--------|--------|-----------|-----------|
| 一軸圧縮強さ | -0.73 | 67.6 | 25.0 | 0.3696 | 0.04517 |
| 圧縮強さ | -0.73 | 17.6 | 7.0 | 0.4003 | 0.05482 |
| フジカル安定度 | -0.73 | 4456.0 | 1734.0 | 0.3814 | 0.03941 |
| 一軸圧縮強さ | -1.07 | 56.8 | 38.2 | 0.6714 | 0.05287 |
| 曲げ強さ | -1.07 | 58.2 | 38.6 | 0.6639 | 0.07464 |

$$E_b \times 10^2$$

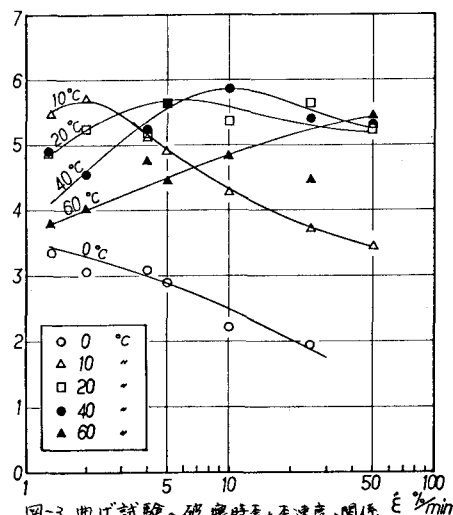


図-3 曲げ試験の破壊時歪と歪速度の関係